

# SİNİRSEL BULANIK AĞLAR İLE KONTROL FONKSİYONUNUN YAKLAŞIKLAMASI

Arzu Babaev      Mutlu Demirer  
Uludağ Üniversitesi  
Elektronik Mühendisliği Bölümü  
16059, Görükle/BURSA  
email:[babaev@uludag.edu.tr](mailto:babaev@uludag.edu.tr)  
[demirer@uludag.edu.tr](mailto:demirer@uludag.edu.tr)

**Anahtar Kelimeler:** Bulanık Küme, Sinirsel Ağlar, Sinirsel Bulanık Kontrol

## Özet

Bildiride sinirsel bulanık ağlar incelenmiştir. Sinirsel ağlar belirlenmiş bulanık kural tabanına göre oluşturulur. Elde edilmiş eğitilme verilerine göre sinirsel ağların bulanık ve kesin çıkış katmanlarındaki sigmoid fonksiyonlarının parametreleri eğitilir. Eğitilmiş sinirsel bulanık ağlar ile araç modeli kontrolünün bilgisayarda benzetimi yapılmıştır.

## 1. Giriş

Bulanık veya sinirsel kontrol sistemlerinin tasarımında, bulanık küme ve sinirsel ağ teorileri kullanılarak kontrol fonksiyonuna yaklaşıklama yapılmasıdır [1-5]. Yaklaşıklama, bulanık küme teorisinin tek başına [6,7] veya sinirsel ağlarla birlikte kullanılmasıyla [8-12] gerçekleştirilebilir. Sunulan bildiride bulanık kural tabanı belirlenerek sinirsel ağlar oluşturulur. Eğer uzman tarafından belirlenen kural tabanına ilave olarak eğitilme verileri de elde edilmiş ise, tüm bu veriler göz önünde bulundurularak bulanık ve kesin çıkış katmanlarındaki eşik parametreleri eğitilir.

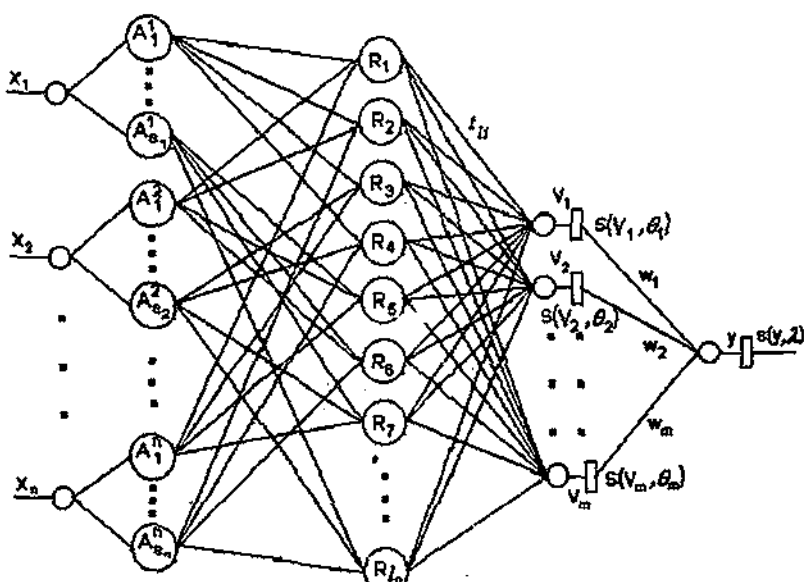
Bildiride sunulan araç park etme sinirsel bulanık kontrol sisteminin bilgisayarda benzetimi yapılmış ve olumlu neticeler alınmıştır.

## 2. Sinirsel bulanık ağların tanımı ve eğitilmesi

Kural tabanının aşağıdaki biçimde verildiğini düşünelim:

$$\text{if } (x_1 = A_1^l \ \& \ x_2 = A_2^l \ \& \dots \& \ x_n = A_n^l) \text{ then } y = B_l \quad (l = \overline{1, l_0})$$

Burada  $A_i^l$  ve  $B_l$ , sözsel terimleri  $U_i$  ve  $V = \{f_1, f_2, \dots, f_m\}$  evrensel kümelerinde  $\mu_{A_i^l}(x_i)$  ve  $\mu_{B_l}(y) \quad (j = \overline{1, n}; i = \overline{1, m})$  üyelik fonksiyonları ile tanımlanmıştır. Bulanık kural tabanı sinirsel olarak Şekil 1'de gösterilmiştir. Birinci katman kesin girişler katmanı, ikinci katman üyelik fonksiyonları katmanı, üçüncü katman kurallar katmanı, dördüncü katman bulanık çıkış katmanı ve beşinci katman da düzüştürülmüş kesin çıkış katmanıdır.



Şekil 1. Bulanık kural tabanının sinirsel gösterimi

Cıkarım prensibine göre kural katmanının çıkışındaki değerler aşağıdaki gibi hesaplanır:

$$\mu_i(x_1, x_2, \dots, x_n) = \mu_{A'_1}(x_1) \mu_{A'_2}(x_2) \dots \mu_{A'_n}(x_n)$$

Kural katmanı ile bulanık çıkış katmanını bağlayan matris sabit olarak aşağıdaki gibi tanımlanır:

$$t_h = \mu_{B_i}(f_i)$$

ve bulanık çıkış aşağıdaki formülle hesaplanır:

$$v_i = \sum_{h=1}^b \mu_i(x_1, x_2, \dots, x_n) t_h \quad (i = \overline{1, m})$$

Dürlüşleştirme işlemini sınırsel olarak göstermek mümkündür. Bulanık ve kesin çıkışları bağlayan  $w_i$  ( $i = \overline{1, m}$ ) katsayıları diğer parametrelerden bağımsız olarak önceden eğitilir ve sonra sabit kabul edilir. Dürlüşleştirilmiş kesin çıkış:

$$y = \sum_{i=1}^m w_i s(v_i, \theta_i)$$

olarak hesaplanır.

Bulanık ve kesin çıkış katmanlarında eşik fonksiyonları aşağıdaki biçimde tanımlanmıştır:

$$s(v_i, \theta_i) = \frac{1}{1 + e^{-v_i + \theta_i}} \quad s(y, \lambda) = \frac{1}{1 + e^{-y - \lambda}}$$

Şimdi ise kural tabanı dışında ( $x_1^p, x_2^p, \dots, x_n^p, y^p$ ) ( $p = \overline{1, p_0}$ ) eğitilme verilerinin elde edildiğini farz edelim. Bu durumda:

$$v_i^p = \sum_{h=1}^b \mu_{A'_1}(x_1^p) \mu_{A'_2}(x_2^p) \dots \mu_{A'_n}(x_n^p) t_h$$

$$\bar{y}^p = \sum_{i=1}^m w_i s(v_i^p, \theta_i)$$

Hatayı aşağıdaki biçimde tanımlayalım:

$$E = \frac{1}{2} \sum_{p=1}^{p_0} (y^p - s(\bar{y}^p))^2$$

Amacımız  $\theta_i$  ( $i = \overline{1, m}$ ) ve  $\lambda$  eşik parametrelerini eğitmektir.

$$\theta_i(\text{new}) = \theta_i(\text{old}) - \alpha \frac{\partial E}{\partial \theta_i}$$

$$\lambda(\text{new}) = \lambda(\text{old}) - \alpha \frac{\partial E}{\partial \lambda}$$

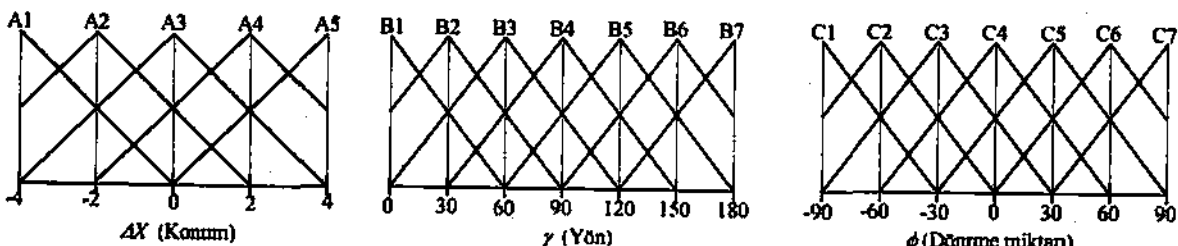
ve

$$\frac{\partial E}{\partial \lambda} = - \sum_{p=1}^{p_0} (y^p - s(\bar{y}^p, \lambda)) \frac{\partial s(\bar{y}^p, \lambda)}{\partial \lambda}$$

$$\frac{\partial E}{\partial \theta_i} = - \sum_{p=1}^{p_0} (y^p - s(\bar{y}^p, \lambda)) \frac{\partial s(\bar{y}^p, \lambda)}{\partial \bar{y}^p} w_i \frac{\partial s(v_i^p, \theta_i)}{\partial \theta_i}$$

### 3. Sınırsel bulanık denetleyicinin bilgisayarda benzetimi

Sınırsel bulanık denetleyici, park etme probleminin çözümünde denenmiştir. Problem çözümünde giriş değerleri olarak aracın başlangıç konumu ve yönü, çıkış değeri olarak da dönmeye miktarı alınmış ve iki giriş-tek çıkışlı bir sistem oluşturulmuştur. İstenen konumdan uzaklık değeri  $\Delta X$  için 5, ilerleme yönünü belirten  $\gamma$  açısı için 7 ve dönmeye miktarını belirten  $\phi$  çıkış değeri için de 7 üyelik fonksiyonu belirlenmiştir. Bu üyelik fonksiyonları Şekil 2'de gösterilmiştir.



Şekil 2. Üyelik fonksiyonları

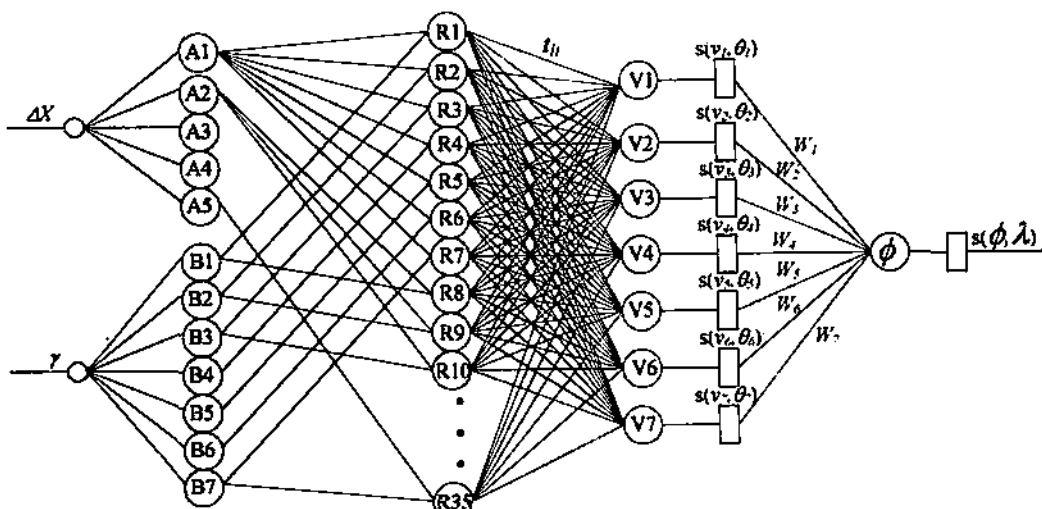
Üyelik fonksiyonlarındaki sözsel terimler;

A1: çok sol,	A2: sol,	A3: orta,	A4: sağ,	A5: çok sağ;
B1: çok sol,	B2: sol,	B3: az sol,	B4: normal,	B5: az sağ,
C1: çok sol,	C2: sol,	C3: az sol,	C4: sıfır,	C5: az sağ,

B6: sağ, B7: çok sağ;  
C6: sağ, C7: çok sağ

şeklindedir.

Oluşturulan iki giriş-tek çıkışlı sistemin sınırsel ağ gösterimi Şekil 3'de gösterilmiştir.



Şekil 3. İki giriş-tek çıkışlı sistemin sınırsel ağ gösterimi

Bunlara ait kural tabanı oluşturularak 35 farklı değer elde edilmiştir. Bu değerler Tablo 1'de gösterilmiştir.

Bu değerler, kural katmanı ile bulanık çıkış katmanı arasındaki  $t_{II}$  matrisini oluşturmak için kullanılmıştır

Tablo 1. Kural tabanı

$\Delta X \setminus Y$	çok sol	Sol	az sol	normal	az sağ	sağ	Çok sağ
çok sol	çok sağ	çok sağ	çok sağ	sağ	az sağ	sıfır	az sol
Sol	çok sağ	çok sağ	sağ	az sağ	sıfır	az sol	sol
Orta	çok sağ	sağ	az sağ	sıfır	az sol	sol	çok sol
Sağ	sağ	az sağ	sıfır	az sol	sol	çok sol	çok sol
çok sağ	az sağ	sıfır	az sol	sol	çok sol	çok sol	çok sol

Herbir bulanık çıkış değeri ( $V_i$ ) bir sigmoid fonksiyonundan geçirilip  $w_i$  değerleriyle çarpılarak kesin çıkış değeri ( $\phi$ ) elde edilmiştir. Bu değer de bir sigmoid fonksiyonundan geçirilerek çıkış değeri elde

edilmiştir. Kullanılan  $w_i$  değerleri  $\phi$ 'ye ait üyelik fonksiyonu yardımıyla hesaplanmıştır. Bulunan  $w_i$  değerleri Tablo 2'de, kullanılan eğitilme verileri de Tablo 3'de gösterilmiştir.

Tablo 2. Hesaplanan  $w_i$  değerleri

$w_1$	$w_2$	$w_3$	$w_4$	$w_5$	$w_6$	$w_7$
-2.53	-0.07	-0.64	-0.02	0.69	0.04	2.52

Tablo 3. Eğitilme değerleri

$\Delta X$	-4	-4	-2	-2	0	0	2	2	4	4
$\gamma$	0	90	30	150	60	120	30	150	90	180
$\phi$	90	59.4	90	-30.6	30.6	-30.6	30.6	-90	-61.2	-90

Eğitim verileri yardımıyla yeterli sayıda iterasyon yapılarak;

$$s(v_i, \theta_i) = \frac{1}{1 + e^{-v_i - \theta_i}} \quad s(\phi, \lambda) = \frac{1}{1 + e^{-\phi - \lambda}}$$

şeklindeki sigmoid fonksiyonlarındaki  $\theta_i$  ve  $\lambda$  değerleri eğitilmiştir. Örneğin 5000 iterasyon sonucunda elde edilen değerler;

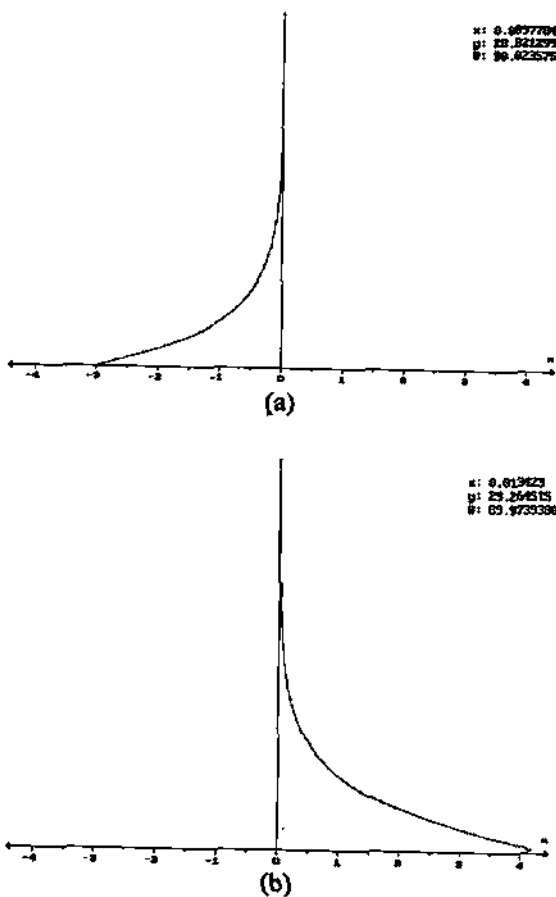
$$\begin{aligned} \theta_1 &= 1.277671, & \theta_2 &= 0.976046, & \theta_3 &= 0.710474, \\ \theta_4 &= 0.010308, & \theta_5 &= 0.703127, & \theta_6 &= 0.964773, \\ \theta_7 &= 1.292011, & \lambda &= -0.006047 \end{aligned}$$

şeklindedir ve bu değerlere karşılık oluşan hata  $E=0.063945$ 'dir.

Eğitimde sonunda sistem, istenilen giriş değerleri için çıkışı hesaplayabilir duruma gelmiştir. Başlangıç konumu  $\Delta X = -3$  ve başlangıç açısı  $\gamma = 90^\circ$  olarak verildiğinde elde edilen program çıktıları Şekil 4a'daki gibi,  $\Delta X = 4$  ve  $\gamma = 180^\circ$  olarak verildiğinde elde edilen ise Şekil 4b'deki gibidir.

Bulanık kural tabanı dışında elde edilmiş kesin eğitilme verilerinin de göz önüne alınmasını sağlar. Bunun için bulanık ve kesin çıkış katmanlarındaki eşik fonksiyonlarının parametreleri eğitilir. Bu yöntem, elde edilen kesin verilerin kural tabanından farklı olması durumunda etkili olur.

Sunulan çalışmanın devamı olarak eşik parametreleri ile birlikte bulanık kural tabanındaki sözsel terimlerin parametreleri de eğitilebilir.



Şekil 4. Farklı konumlardan hareket eden araçların park etmesi ile ilgili program çıktıları

## Sonuç

Bulanık kural tabanına göre sınırsel ağların oluşturulması geliştirilmiştir. Önerilen yöntem mevcut

## Kaynaklar

1. G. J. Klir, B. Yuan. Fuzzy sets and Fuzzy Logic.- Prentice Hall, 1995.
2. B. Kosko . Neural Networks and Fuzzy Systems Prentice Hall Inc, 1992.
3. C-T. Lin, C.S. George Lee. Neural Fuzzy Systems. Prentice Hall,1996.
4. L.H. Tsoukalas, R.E. Uhrig. Fuzzy and Neural Approaches in Engineering. John Wiley & Sons, 1997.
5. L-X. Wang. Adaptive Fuzzy Systems and Control. Prentice Hall,1994.
6. Laszlo T. Koczy, A. Zorat, Fuzzy systems and approximation, Fuzzy Sets And Systems, (85)!, pp. 203-223. (1997)
7. Babaev, I. Gülcüyener, Ö. Eskidere. Approximation of control function by using adequate fuzzy model. International Conference on Electrical and Electronics Engineering, ELECO 99, Bursa, Turkey, 1-5 December, pp 114-117, 1999.
8. D. Nauck, R. Kruse. Neuro-fuzzy systems for function approximation. Fuzzy Sets And Systems, 101, pp. 261-271, 1999.
9. Babaev, S. Çolak. Representation of adequate fuzzy model by using neural network. ISCIS-12 , Antalya, October, pp. 371-376, 1997.
10. Babaev, S. Arı. Simplification of Structure of a Neuro-Fuzzy Controller.-IMS-98, Sakarya, August, 1998.
11. Babaev, B. Güler. Neural Network Approach to Backward Inference in a Fuzzy Rule Based System. TAINN-98, Bilkent,Ankara, June, pp. 195-204, 1998.
12. Babaev, B. Güler. Bulanık Denetleyicilerde Çıkarım Problemine Olabiliilik Teorisi Yaklaşımı. Bilişim'98, İstanbul, 1998.